

c

Siehe ähnliche Dateien: <http://www.ps.bam.de/UG44/>
 Technische Information: <http://www.ps.bam.de>

M

Y

O

L

V

-8

-6

BAM-Prüfvorlage UG44; Farbmatrik-Systeme ORS18 & ORS18 input: *cmy0** *setcmykcolor*
 D65: 5stufige Farbreihen und Koordinaten-Daten für 10 Bunttöneoutput: *Startup (S) data dependend*

Eingabe: Farbmétrisches Reflexions-System MRS18

für Bunton $h^* = lab^*h = 30/360 = 0.083$

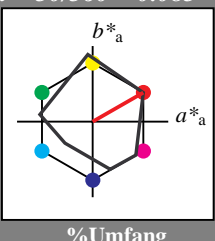
lab^*tch und lab^*nch

D65: Bunton R

LCH*Ma: 50 77 30

rgb*Ma: 1.0 0.0 0.0

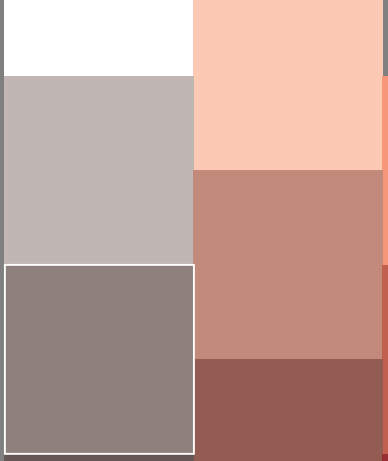
Dreiecks-Helligkeit



%Umfang

$u^*_{rel} = 91$

1,00



MRS18; adaptierte CIELAB-Daten

	L^*	a^*	b^*	C^*	ab,a	h^*ab,a
RMa	49.63	66.96	38.37	77.18	30	
JMa	90.7	-6.36	88.75	88.98	94	
GMa	52.11	-69.73	9.44	70.37	172	
G50BMa	45.03	-36.57	-28.47	46.36	218	
BMa	36.65	23.19	-63.05	67.18	290	
B50RMa	34.94	57.17	-44.26	72.31	322	
NMa	18.01	0.0	0.0	0.0	0	
WMa	95.41	0.0	0.0	0.0	0	
Rcie	39.92	58.66	26.98	64.56	25	
Jcie	81.26	-2.17	67.76	67.79	92	
Gcie	52.23	-42.26	11.75	43.87	164	
BCIE	30.57	1.15	-46.84	46.87	271	

1,00

%Umfang

$u^*_{rel} = 91$

%Regularität

$g^*_{H,rel} = 41$

$g^*_{C,rel} = 52$

n* = 0,00

0,25

0,50

0,75

1,00

relative Buntheit c*

n* = 0,50

0,00

0,25

0,50

0,75

1,00

Schwarzheit n*

n* = 1,0

UG440-7,5 stufige Reihen für konstanten CIELAB Bunnton 30/360 = 0.083 (links)

Ausgabe: Farbmétrisches Reflexions-System MRS18

für Bunton $h^* = lab^*h = 30/360 = 0.083$

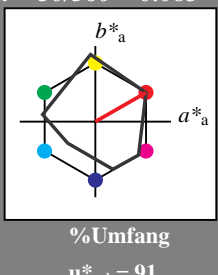
lab^*tch und lab^*nch

D65: Bunton R

LCH*Ma: 50 77 30

rgb*Ma: 1.0 0.0 0.0

Dreiecks-Helligkeit



%Umfang

$u^*_{rel} = 91$

1,00

%Regularität

$g^*_{H,rel} = 41$

$g^*_{C,rel} = 52$

n* = 0,00

0,25

0,50

0,75

1,00

relative Buntheit c*

n* = 0,00

0,25

0,50

0,75

1,00

relative Buntheit c*

n* = 0,00

0,25

0,50

0,75

1,00

relative Buntheit c*

n* = 0,00

0,25

0,50

0,75

1,00

relative Buntheit c*

n* = 0,00

0,25

0,50

0,75

1,00

relative Buntheit c*

MRS18; adaptierte CIELAB-Daten

	L^*	a^*	b^*	C^*	ab,a	h^*ab,a
RMa	49.63	66.96	38.37	77.18	30	
JMa	90.7	-6.36	88.75	88.98	94	
GMa	52.11	-69.73	9.44	70.37	172	
G50BMa	45.03	-36.57	-28.47	46.36	218	
BMa	36.65	23.19	-63.05	67.18	290	
B50RMa	34.94	57.17	-44.26	72.31	322	
NMa	18.01	0.0	0.0	0.0	0	
WMa	95.41	0.0	0.0	0.0	0	
Rcie	39.92	58.66	26.98	64.56	25	
Jcie	81.26	-2.17	67.76	67.79	92	
Gcie	52.23	-42.26	11.75	43.87	164	
BCIE	30.57	1.15	-46.84	46.87	271	

1,00

%Regularität

$g^*_{H,rel} = 41$

$g^*_{C,rel} = 52$

n* = 0,00

0,25

0,50

0,75

1,00

relative Buntheit c*

n* = 0,00

0,25

0,50

0,75

1,00

relative Buntheit c*

n* = 0,00

0,25

0,50

0,75

1,00

relative Buntheit c*

n* = 0,00

0,25

0,50

0,75

1,00

relative Buntheit c*

n* = 0,00

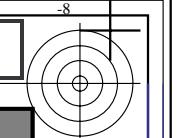
0,25

0,50

0,75

1,00

relative Buntheit c*



Eingabe: Farbmétrisches Reflexions-System MRS18

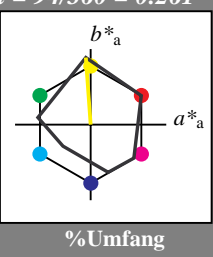
für Bunton $h^* = lab^*h = 94/360 = 0.261$
 lab^*tch und lab^*nch

D65: Bunton J

LCH*Ma: 91 89 94

rgb*Ma: 1.0 1.0 0.0

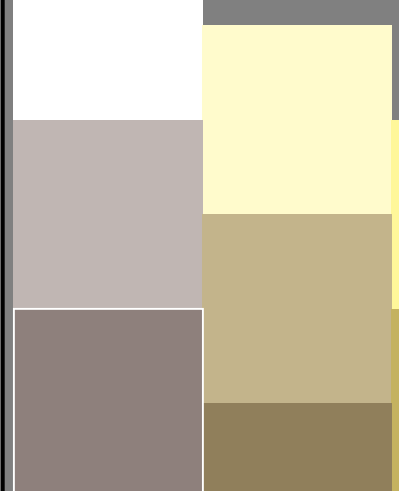
Dreiecks-Helligkeit



%Umfang

$u^*_{rel} = 91$

1,00



MRS18; adaptierte CIELAB-Daten

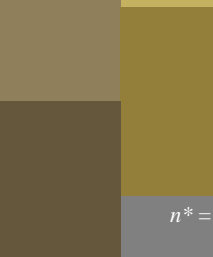
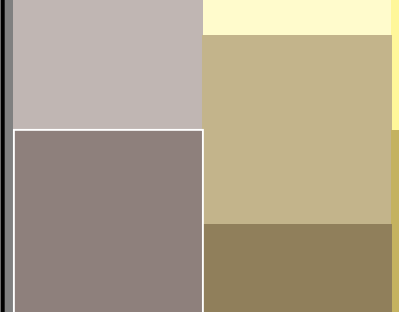
	$L^*=L^*_a$	$a^*_{ab,a}$	$b^*_{ab,a}$	$C^*_{ab,a}$	$h^*_{ab,a}$
RMa	49.63	66.96	38.37	77.18	30
JMa	90.7	-6.36	88.75	88.98	94
GMa	52.11	-69.73	9.44	70.37	172
G50BMa	45.03	-36.57	-28.47	46.36	218
BMa	36.65	23.19	-63.05	67.18	290
B50RMa	34.94	57.17	-44.26	72.31	322
NMa	18.01	0.0	0.0	0.0	0
WMa	95.41	0.0	0.0	0.0	0
RCIE	39.92	58.66	26.98	64.56	25
JCIE	81.26	-2.17	67.76	67.79	92
GCIE	52.23	-42.26	11.75	43.87	164
BCIE	30.57	1.15	-46.84	46.87	271

%Regularität

$g^*_{H,rel} = 41$

$g^*_{C,rel} = 52$

0,75



$n^* = 0,50$



$n^* = 0,25$



$n^* = 0,00$



$n^* = 0,50$



$n^* = 1,0$



relative Buntheit c^*

$n^* = 1,0$

Ausgabe: Farbmétrisches Reflexions-System MRS18

für Bunton $h^* = lab^*h = 94/360 = 0.261$

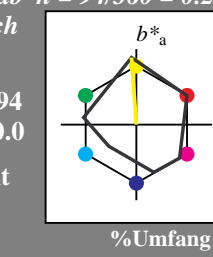
lab^*tch und lab^*nch

D65: Bunton J

LCH*Ma: 91 89 94

rgb*Ma: 1.0 1.0 0.0

Dreiecks-Helligkeit



%Umfang

$u^*_{rel} = 91$

1,00

%Regularität

%Regularität

$g^*_{H,rel} = 41$

$g^*_{C,rel} = 52$

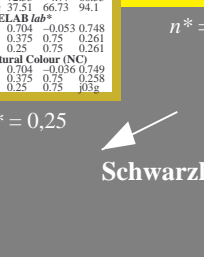
0,75

0,50

0,25

0,00

relative Buntheit c^*



$n^* = 0,25$

Schwarzheit n^*

0,00

0,25

0,50

0,75

1,00

relative Buntheit c^*

MRS18; adaptierte CIELAB-Daten

	$L^*=L^*_a$	$a^*_{ab,a}$	$b^*_{ab,a}$	$C^*_{ab,a}$	$h^*_{ab,a}$
RMa	49.63	66.96	38.37	77.18	30
JMa	90.7	-6.36	88.75	88.98	94
GMa	52.11	-69.73	9.44	70.37	172
G50BMa	45.03	-36.57	-28.47	46.36	218
BMa	36.65	23.19	-63.05	67.18	290
B50RMa	34.94	57.17	-44.26	72.31	322
NMa	18.01	0.0	0.0	0.0	0
WMa	95.41	0.0	0.0	0.0	0
RCIE	39.92	58.66	26.98	64.56	25
JCIE	81.26	-2.17	67.76	67.79	92
GCIE	52.23	-42.26	11.75	43.87	164
BCIE	30.57	1.15	-46.84	46.87	271

	$L^*=L^*_a$	$a^*_{ab,a}$	$b^*_{ab,a}$	$C^*_{ab,a}$	$h^*_{ab,a}$
RMa	49.63	66.96	38.37	77.18	30
JMa	90.7	-6.36	88.75	88.98	94
GMa	52.11	-69.73	9.44	70.37	172
G50BMa	45.03	-36.57	-28.47	46.36	218
BMa	36.65	23.19	-63.05	67.18	290
B50RMa	34.94	57.17	-44.26	72.31	322
NMa	18.01	0.0	0.0	0.0	0
WMa	95.41	0.0	0.0	0.0	0
RCIE	39.92	58.66	26.98	64.56	25
JCIE	81.26	-2.17	67.76	67.79	92
GCIE	52.23	-42.26	11.75	43.87	164
BCIE	30.57	1.15	-46.84	46.87	271

	$L^*=L^*_a$	$a^*_{ab,a}$	$b^*_{ab,a}$	$C^*_{ab,a}$	$h^*_{ab,a}$
RMa	49.63	66.96	38.37	77.18	30
JMa	90.7	-6.36	88.75	88.98	94
GMa	52.11	-69.73	9.44	70.37	172
G50BMa	45.03	-36.57	-28.47	46.36	218
BMa	36.65	23.19	-63.05	67.18	290
B50RMa	34.94	57.17	-44.26	72.31	322
NMa	18.01	0.0	0.0	0.0	0
WMa	95.41	0.0	0.0	0.0	0
RCIE	39.92	58.66	26.98	64.56	25
JCIE	81.26	-2.17	67.76	67.79	92
GCIE	52.23	-42.26	11.75	43.87	164
BCIE	30.57	1.15	-46.84	46.87	271

	$L^*=L^*_a$	$a^*_{ab,a}$	$b^*_{ab,a}$	$C^*_{ab,a}$	$h^*_{ab,a}$
RMa	49.63	66.96	38.37	77.18	30
JMa	90.7	-6.36	88.75	88.98	94
GMa	52.11	-69.73	9.44	70.37	172
G50BMa	45.03	-36.57	-28.47	46.36	218
BMa	36.65	23.19	-63.05	67.18	290
B50RMa	34.94	57.17	-44.26	72.31	322
NMa	18.01	0.0	0.0	0.0	0
WMa	95.41	0.0	0.0	0.0	0
RCIE	39.92	58.66	26.98	64.56	25
JCIE	81.26	-2.17	67.76	67.79	92
GCIE	52.23	-42.26	11.75	43.87	164
BCIE	30.57	1.15	-46.84	46.87	271

	$L^*=L^*_a$	$a^*_{ab,a}$	$b^*_{ab,a}$	$C^*_{ab,a}$	$h^*_{ab,a}$
RMa	49.63	66.96	38.37	77.18	30
JMa	90.7	-6.36	88.75	88.98	94
GMa	52.11	-69.73	9.44	70.37	172
G50BMa	45.03	-36.57	-28.47	46.36	218
BMa	36.65	23.19	-63.05	67.18	290
B50RMa	34.94	57.17	-44.26	72.31	322
NMa	18.01	0.0	0.0	0.0	0
WMa	95.41	0.0	0.0	0.0	0
RCIE	39.92	58.66	26.98	64.56	25
JCIE	81.26	-2.17	67.76	67.79	92
GCIE	52.23	-42.26	11.75	43.87	164
BCIE	30.57	1.15	-46.84	46.87	271

UG440-7, 5 stufige Reihen für konstanten CIELAB Bunton 94/360 = 0.261 (links)

5 stufige Reihen für konstanten CIELAB Bunton 94/360 = 0.261 (rechts)

BAM-Prüfvorlage UG44; Farbmétrik-Systeme ORS18 & ORS18 input: $cmy0*$ setcmykcolor
D65: 5stufige Farbreihen und Koordinaten-Daten für 10 Bunttönenoutput: Startup (S) data dependend

UG440-7, 5 stufige Reihen für konstanten CIELAB Bunton 94/360 = 0.261 (links)

5 stufige Reihen für konstanten CIELAB Bunton 94/360 = 0.261 (rechts)

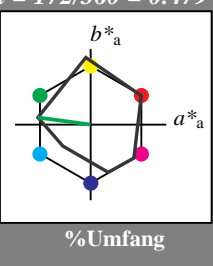
Siehe ähnliche Dateien: <http://www.ps.bam.de/UG44/>
 Technische Information: <http://www.ps.bam.de> Version 2.1, io=0,0?

Eingabe: Farbmétrisches Reflexions-System MRS18

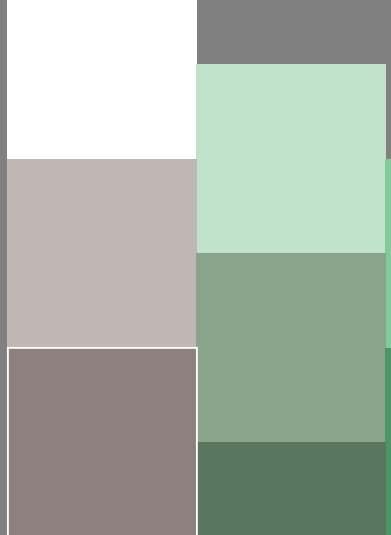
für Bunton $h^* = lab^*h = 172/360 = 0.479$
 lab^*tch und lab^*nch

D65: Bunton G
 LCH*Ma: 52 70 172
 rgb*Ma: 0.0 1.0 0.0

Dreiecks-Helligkeit



%Umfang
 $u^*_{rel} = 91$



$n^* = 0,50$

0,25 0,50 0,75 1,00

relative Buntheit c^*

0,25 0,50 0,75 1,00

$n^* = 1,0$

UG440-7, 5 stufige Reihen für konstanten CIELAB Bunton 172/360 = 0.479 (links)

BAM-Prüfvorlage UG44; Farbmétrik-Systeme ORS18 & ORS18 input: cmy0* setcmykcolor

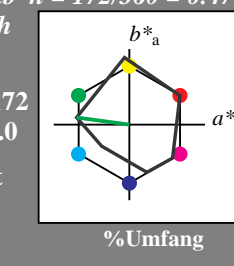
D65: 5stufige Farbreihen und Koordinaten-Daten für 10 Bunttöneoutput: Startup (S) data dependend

Ausgabe: Farbmétrisches Reflexions-System MRS18

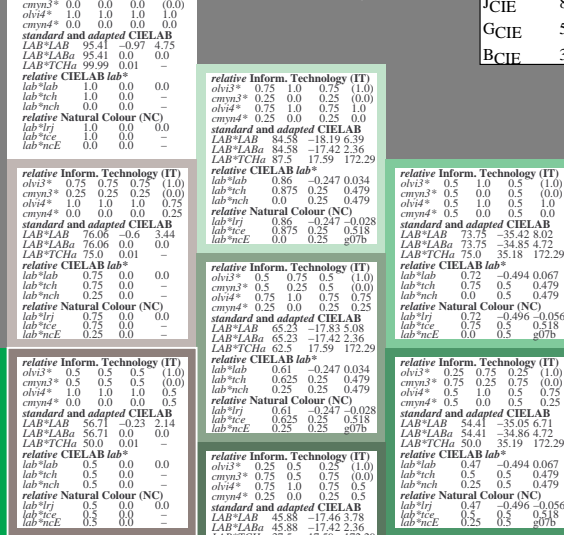
für Bunton $h^* = lab^*h = 172/360 = 0.479$
 lab^*tch und lab^*nch

D65: Bunton G
 LCH*Ma: 52 70 172
 rgb*Ma: 0.0 1.0 0.0

Dreiecks-Helligkeit



%Umfang
 $u^*_{rel} = 91$



0,25 0,50 0,75 1,00

relative Buntheit c^*

0,25 0,50 0,75 1,00

5 stufige Reihen für konstanten CIELAB Bunton 172/360 = 0.479 (rechts)

BAM-Prüfvorlage UG44; Farbmétrik-Systeme ORS18 & ORS18 input: cmy0* setcmykcolor

D65: 5stufige Farbreihen und Koordinaten-Daten für 10 Bunttöneoutput: Startup (S) data dependend

MRS18; adaptierte CIELAB-Daten

$L^* = L^*_{ab}$ a^*_{ab} b^*_{ab} $C^*_{ab,a}$ $h^*_{ab,a}$

RMa	49.63	66.96	38.37	77.18	30
JMa	90.7	-6.36	88.75	88.98	94
GMa	52.11	-69.73	9.44	70.37	172
G50BMa	45.03	-36.57	-28.47	46.36	218
BMa	36.65	23.19	-63.05	67.18	290
B50RMa	34.94	57.17	-44.26	72.31	322
NMa	18.01	0.0	0.0	0.0	0
WMa	95.41	0.0	0.0	0.0	0
Rcie	39.92	58.66	26.98	64.56	25
Jcie	81.26	-2.17	67.76	67.79	92
Gcie	52.23	-42.26	11.75	43.87	164
BCIE	30.57	1.15	-46.84	46.87	271

%Regularität

$g^*_{H,rel} = 41$

$g^*_{C,rel} = 52$

relative Inform. Technology (IT)	oliv3*	0.75	1.0	0.75	(1,0)
cmyn3*	0.5	0.5	0.5	0.5	(0,0)
oliv4*	1.0	1.0	1.0	1.0	-
cmyn4*	0.0	0.0	0.0	0.0	-
standard and adapted CIELAB					
LAB*LAB	54.41	-17.39	4.75	47.5	-
LAB*TChA	95.41	-17.39	4.75	47.5	-
LAB*TChA	99.99	0.01	-	-	-

relative Inform. Technology (IT)	oliv3*	0.75	1.0	0.75	(1,0)
cmyn3*	0.5	0.5	0.5	0.5	(0,0)
oliv4*	1.0	1.0	1.0	1.0	-
cmyn4*	0.0	0.0	0.0	0.0	-
standard and adapted CIELAB					
LAB*LAB	76.06	-0.6	3.44	-	-
LAB*TChA	76.06	0.0	-	-	-
LAB*TChA	75.01	-	-	-	-

relative Inform. Technology (IT)	oliv3*	0.5	0.75	0.75	(1,0)
cmyn3*	0.25	0.25	0.25	0.25	(0,0)
oliv4*	1.0	1.0	1.0	1.0	-
cmyn4*	0.0	0.0	0.0	0.0	-
standard and adapted CIELAB					
LAB*LAB	56.71	0.23	2.14	-	-
LAB*TChA	56.71	0.01	-	-	-
LAB*TChA	50.01	-	-	-	-

relative Inform. Technology (IT)	oliv3*	0.5	0.5	0.5	(1,0)
cmyn3*	0.5	0.5	0.5	0.5	(0,0)
oliv4*	0.75	0.75	0.75	0.75	-
cmyn4*	0.0	0.0	0.0	0.0	-
relative Natural Colour (NC)					
lab*irj	0.75	0.0	0.0	-	-
lab*ice	0.75	0.0	0.0	-	-
lab*nce	0.25	0.0	-	-	-

relative Inform. Technology (IT)	oliv3*	0.5	0.5	0.5	(1,0)
cmyn3*	0.75	0.0	0.0	-	-
oliv4*	0.25	0.25	0.25	0.25	-
cmyn4*	0.0	0.0	0.0	0.0	-
relative Natural Colour (NC)					
lab*irj	0.25	0.0	0.0	-	-
lab*ice	0.25	0.0	0.0	-	-
lab*nce	0.75	0.0	-	-	-

MRS18; adaptierte CIELAB-Daten

$L^* = L^*_{ab}$ a^*_{ab} b^*_{ab} $C^*_{ab,a}$ $h^*_{ab,a}$

RMa	49.63	66.96	38.37	77.18	30
JMa	90.7	-6.36	88.75	88.98	94
GMa	52.11	-69.73	9.44	70.37	172
G50BMa	45.03	-36.57	-28.47	46.36	218
BMa	36.65	23.19	-63.05	67.18	290
B50RMa	34.94	57.17	-44.26	72.31	322
NMa	18.01	0.0	0.0	0.0	0
WMa	95.41	0.0	0.0	0.0	0
Rcie	39.92	58.66	26.98	64.56	25
Jcie	81.26	-2.17	67.76	67.79	92
Gcie	52.23	-42.26	11.75	43.87	164
BCIE	30.57	1.15	-46.84	46.87	271

%Regularität

$g^*_{H,rel} = 41$

$g^*_{C,rel} = 52$

relative Inform. Technology (IT)	oliv3*	0.25	0.25	0.25	(1,0)
cmyn3*	0.5	0.5	0.5	0.5	(0,0)
oliv4*	1.0	1.0	1.0	1.0	-
cmyn4*	0.0	0.0	0.0	0.0	-
standard and adapted CIELAB					
LAB*LAB	54.41	-17.39	4.75	47.5	-
LAB*TChA	95.41	-17.39	4.75	47.5	-
LAB*TChA	99.99	0.01	-	-	-

relative Inform. Technology (IT)	oliv3*	0.5	0.5	0.5	(1,0)
cmyn3*	0.25	0.25	0.25	0.25	(0,0)
oliv4*	0.5	0.5	0.5	0.5	-
cmyn4*	0.0	0.0	0.0	0.0	-
standard and adapted CIELAB					
LAB*LAB	76.06	-0.6	3.44	-	-
LAB*TChA	76.06	0.0	-	-	-
LAB*TChA	75.01	-	-	-	-

relative Inform. Technology (IT)	oliv3*	0.25	0.25	0.25	(1,0)
cmyn3*	0.5	0.5	0.5	0.5	(0,0)
oliv4*	1.0	1.0	1.0	1.0	-
cmyn4*	0.0	0.0	0.0	0.0	-
relative Natural Colour (NC)					
lab*irj	0.25	0.0	0.0	-	-
lab*ice	0.25	0.0	0.0	-	-
lab*nce	0.75	0.0	-	-	-

relative Inform. Technology (IT)	oliv3*	0.11	0.11	0.11	(1,0)
cmyn3*	0.5	0.5	0.5	0.5	(0,0)
oliv4*	1.0	1.0	1.0	1.0	-
cmyn4*	0.0	0.0	0.0	0.0	-
relative Natural Colour (NC)					
lab*irj	0.11	-0.247	0.034	-	-
lab*ice	0.11	-0.247	0.034	-	-
lab*nce	0.75	0.25	0.07b	-	-

c

M

Y

O

L

n

0,00

0,25

0,50

0,75

1,00

1,00

0,75

0,50

0,25

0,00

0,00

0,25

0,50

0,75

1,00

1,00

0,75

0,50

0,25

0,00

0,00

0,25

0,50

0,75

1,00

1,00

0,75

0,50

0,25

0,00

0,00

0,25

0,50

0,75

1,00

1,00

0,75

0,50

0,25

0,00

0,00

0,25

0,50

0,75

1,00

1,00

0,75

0,50

0,25

0,00

0,00

0,25

0,50

0,75

1,00

1,00

0,75

0,50

0,25

0,00

0,00

0,25

0,50

0,75

1,00

1,00

0,75

0,50

0,25

0,00

0,00

0,25

0,50

0,75

1,00

1,00

0,75

0,50

0,25

0,00

0,00

0,25

0,50

0,75

1,00

1,00

0,75

0,50

0,25

0,00

0,00

0,25

0,50

0,75

1,00

1,00

0,75

0,50

0,25

0,00

0,00

0,25

0,50

0,75

1,00

1,00

0,75

0,50

0,25

0,00

0,00

0,25

0,50

0,75

1,00

1,00

0,75

0,50

0,25

0,00

0,00

0,25

0,50

0,75

1,00

1,00

0,75

0,50

0,25

0,00

0,00

0,25

0,50

0,75

1,00

1,00

0,75

0,50

0,25

0,00

0,00

0,25

0,50

0,75

1,00

1,00

0,75

0,50

0,25

0,00

0,00

0,25

0,50

0,75

1,00

1,00

0,75

0,50

0,25

0,00

0,00

0,25

0,50

0,75

1,00

1,00

0,75

0,50

0,25

0,00

0,00

0,25

0,50

0,75

1,00

1,00

0,75

0,50

0,25

0,00

0,00

0,25

0,50

0,75

1,00

1,00

0,75

0,50

0,25

0,00

0,00

0,25

0,50

0,75

1,00

1,00

0,75

0,50

0,25

0,00

0,00

0,25

0,50

0,75

1,00

1,00

0,75

0,50

0,25

0,00

0,00

0,25

0,50

0,75

1,00

1,00

0,75

0,50

0,25

0,00

0,00

0,25

0,50

0,75

1,00

1,00

0,75

0,50

0,25

0,00

0,00

0,25

0,50

0,75

1,00

1,00

0,75

0,50

0,25

0,00

0,00

0,25

0,50

0,75

1,00

1,00

0,75

0,50

0,25

0,00

0,00

0,25

0,50

0,75

1,00

1,00

0,75

0,50

0,25

0,00

0,00

0,25

0,50

0,75

1,00

1,00

0,75

0,50

0,25

0,00

0,00

0,25

0,50

0,75

1,00

1,00

0,75

0,50

0,25

0,00

0,00

0,25

0,50

0,75

1,00

1,00

0,75

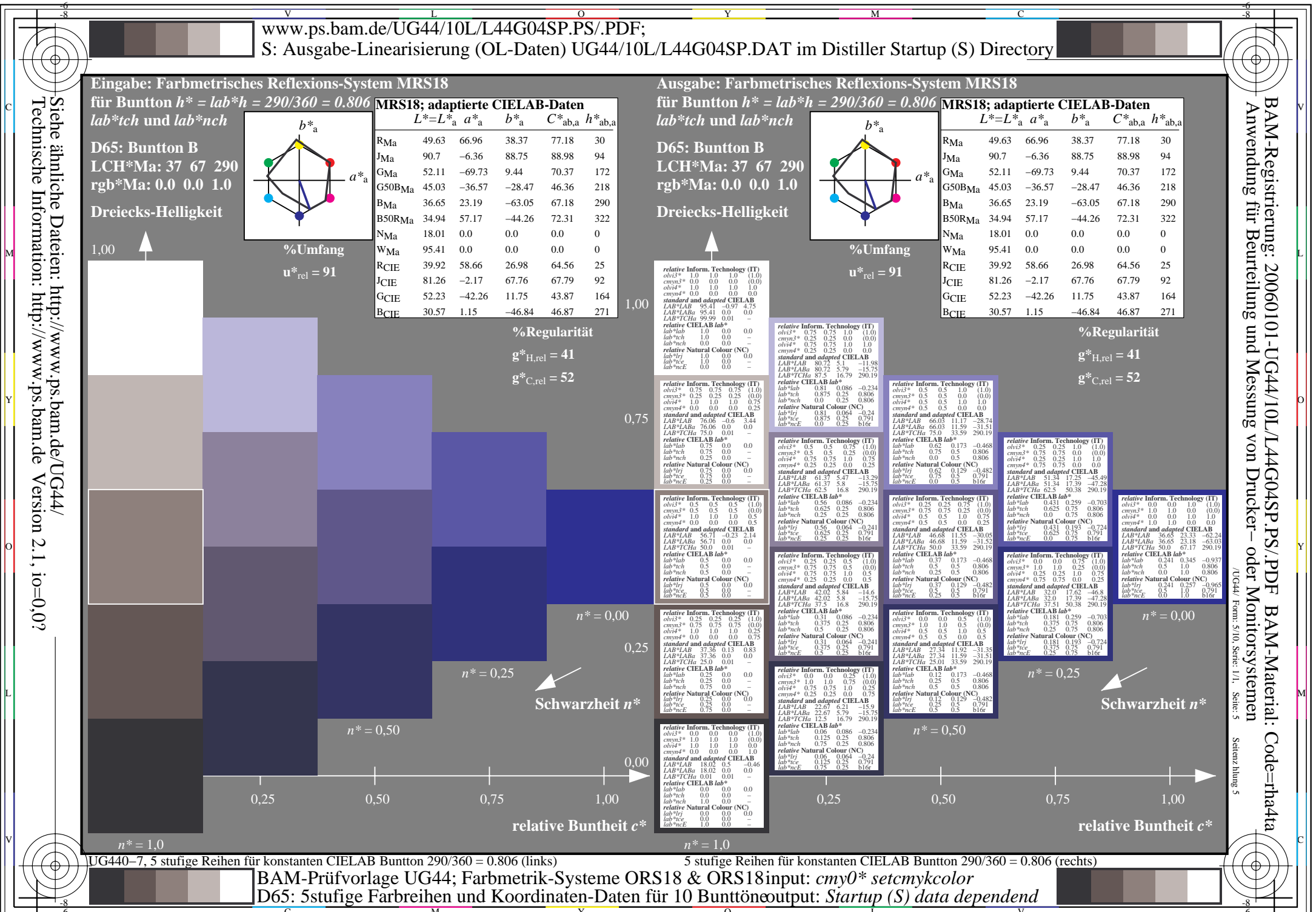
0,50

0,25

0,00

0,00

0,25



c

M

M

Y

O

L

V

Eingabe: Farbmétrisches Reflexions-System MRS18

für Bunton $h^* = lab^*h = 322/360 = 0.895$

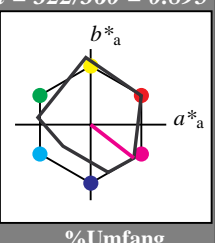
lab^{*tch} und lab^{*nch}

D65: Bunton B50R

LCH*Ma: 35 72 322

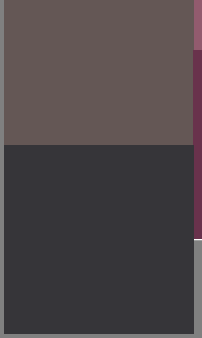
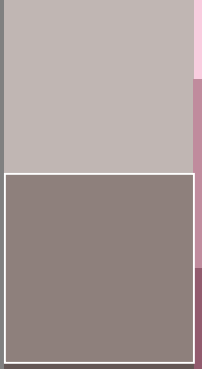
rgb*Ma: 1.0 0.0 1.0

Dreiecks-Helligkeit



%Umfang

$u^*_{rel} = 91$



$n^* = 0,50$

$n^* = 0,25$

Schwarzheit n^*

$n^* = 0,00$

$n^* = 0,25$

$n^* = 0,00$

$n^* = 0,50$

$n^* = 0,00$

$n^* = 0,75$

$n^* = 0,00$

$n^* = 1,00$

$n^* = 0,00$

MRS18; adaptierte CIELAB-Daten

	$L^* = L^*_a$	$a^* a$	$b^* a$	$C^*_{ab,a}$	$h^*_{ab,a}$
RMa	49.63	66.96	38.37	77.18	30
JMa	90.7	-6.36	88.75	88.98	94
GMa	52.11	-69.73	9.44	70.37	172
G50BMa	45.03	-36.57	-28.47	46.36	218
BMa	36.65	23.19	-63.05	67.18	290
B50RMa	34.94	57.17	-44.26	72.31	322
NMa	18.01	0.0	0.0	0.0	0
WMa	95.41	0.0	0.0	0.0	0
RCIE	39.92	58.66	26.98	64.56	25
JCIE	81.26	-2.17	67.76	67.79	92
GCIE	52.23	-42.26	11.75	43.87	164
BCIE	30.57	1.15	-46.84	46.87	271

%Regularität

$g^*_{H,rel} = 41$

$g^*_{C,rel} = 52$

Ausgabe: Farbmétrisches Reflexions-System MRS18

für Bunton $h^* = lab^*h = 322/360 = 0.895$

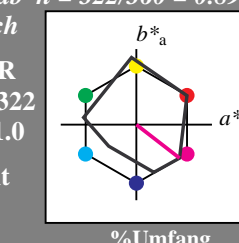
lab^{*tch} und lab^{*nch}

D65: Bunton B50R

LCH*Ma: 35 72 322

rgb*Ma: 1.0 0.0 1.0

Dreiecks-Helligkeit



%Umfang

$u^*_{rel} = 91$

1,00

0,75

0,50

0,25

0,00

0,25

0,50

0,75

1,00

0,00

0,25

0,50

0,75

1,00

0,00

0,25

0,50

0,75

1,00

0,00

0,25

0,50

0,75

1,00

0,00

0,25

0,50

0,75

1,00

0,00

0,25

0,50

0,75

1,00

0,00

0,25

0,50

0,75

1,00

0,00

0,25

0,50

0,75

1,00

0,00

0,25

0,50

0,75

1,00

0,00

0,25

0,50

0,75

1,00

0,00

0,25

0,50

0,75

1,00

0,00

0,25

0,50

0,75

1,00

0,00

0,25

0,50

0,75

1,00

0,00

0,25

0,50

0,75

1,00

0,00

0,25

0,50

0,75

1,00

0,00

0,25

0,50

0,75

1,00

0,00

0,25

0,50

0,75

1,00

0,00

0,25

0,50

0,75

1,00

0,00

0,25

0,50

0,75

1,00

0,00

0,25

0,50

0,75

1,00

0,00

0,25

0,50

0,75

1,00

0,00

0,25

0,50

0,75

1,00

0,00

0,25

0,50

0,75

1,00

0,00

0,25

0,50

0,75

1,00

0,00

0,25

0,50

0,75

1,00

0,00

0,25

0,50

0,75

1,00

0,00

0,25

0,50

0,75

1,00

0,00

0,25

0,50

0,75

1,00

0,00

0,25

0,50

0,75

1,00

0,00

0,25

0,50

0,75

1,00

0,00

0,25

0,50

0,75

1,00

0,00

0,25

0,50

0,75

1,00

0,00

0,25

0,50

0,75

1,00

0,00

0,25

0,50

0,75

1,00

0,00

0,25

0,50

0,75

1,00

0,00

0,25

0,50

0,75

1,00

0,00

0,25

0,50

0,75

1,00

0,00

0,25

0,50

0,75

1,00

0,00

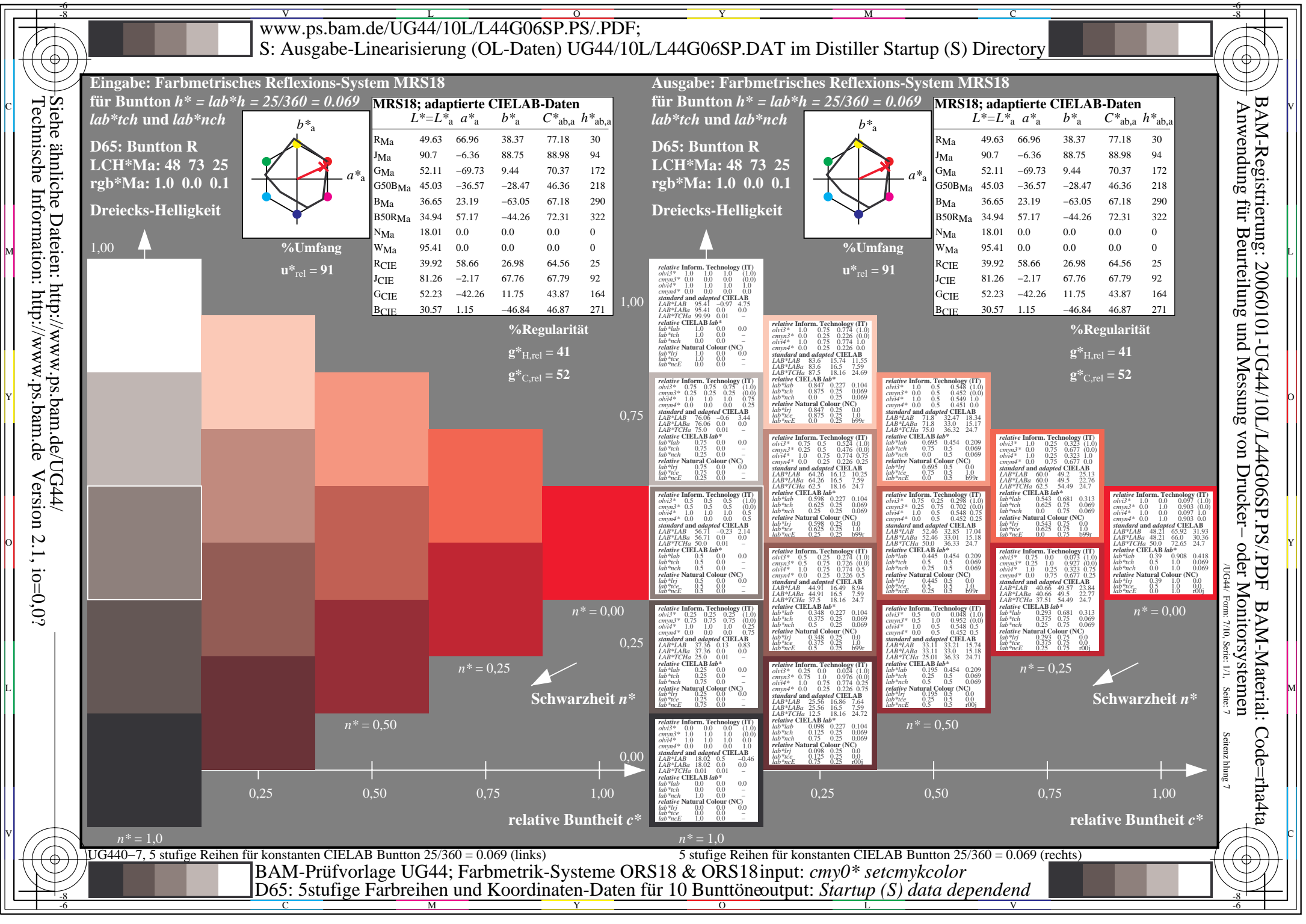
0,25

0,50

0,75

1,00

0,00



Siehe ähnliche Dateien: <http://www.ps.bam.de/UG44/>
Technische Information: <http://www.ps.bam.de> Version 2.1, io=0,0?

Eingabe: Farbmétrisches Reflexions-System MRS18

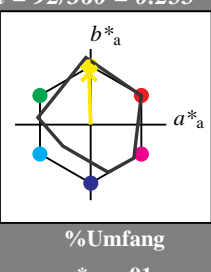
für Bunton $h^* = lab^*h = 92/360 = 0.255$
 lab^*tch und lab^*nch

D65: Bunton J

LCH*Ma: 89 86 92

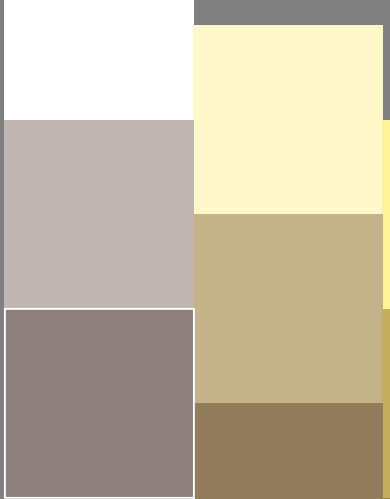
rgb*Ma: 1.0 0.95 0.0

Dreiecks-Helligkeit



%Umfang
 $u^*_{rel} = 91$

1,00



$n^* = 0,50$

0,25 0,50 0,75 1,00

relative Buntheit c^*

$n^* = 1,0$

MRS18; adaptierte CIELAB-Daten

	$L^* = L^*_a$	$a^* a$	$b^* a$	$C^*_{ab,a}$	$h^*_{ab,a}$
RMa	49.63	66.96	38.37	77.18	30
JMa	90.7	-6.36	88.75	88.98	94
GMa	52.11	-69.73	9.44	70.37	172
G50BMa	45.03	-36.57	-28.47	46.36	218
BMa	36.65	23.19	-63.05	67.18	290
B50RMa	34.94	57.17	-44.26	72.31	322
NMa	18.01	0.0	0.0	0.0	0
WMa	95.41	0.0	0.0	0.0	0
RCIE	39.92	58.66	26.98	64.56	25
JCIE	81.26	-2.17	67.76	67.79	92
GCIE	52.23	-42.26	11.75	43.87	164
BCIE	30.57	1.15	-46.84	46.87	271

Ausgabe: Farbmétrisches Reflexions-System MRS18

für Bunton $h^* = lab^*h = 92/360 = 0.255$

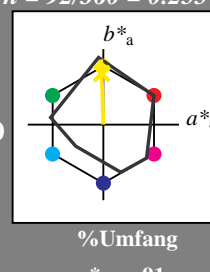
lab^*tch und lab^*nch

D65: Bunton J

LCH*Ma: 89 86 92

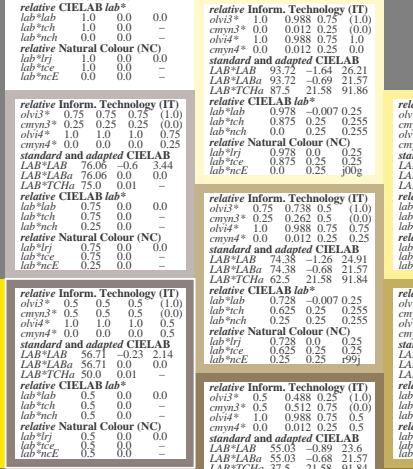
rgb*Ma: 1.0 0.95 0.0

Dreiecks-Helligkeit



%Umfang
 $u^*_{rel} = 91$

1,00



$n^* = 0,00$

0,25

Schwarzheit n^*

0,00

0,25

0,50

0,75

1,00

relative Buntheit c^*

$n^* = 1,0$

5stufige Reihen für konstanten CIELAB Bunton 92/360 = 0.255 (rechts)

MRS18; adaptierte CIELAB-Daten

	$L^* = L^*_a$	$a^* a$	$b^* a$	$C^*_{ab,a}$	$h^*_{ab,a}$
RMa	49.63	66.96	38.37	77.18	30
JMa	90.7	-6.36	88.75	88.98	94
GMa	52.11	-69.73	9.44	70.37	172
G50BMa	45.03	-36.57	-28.47	46.36	218
BMa	36.65	23.19	-63.05	67.18	290
B50RMa	34.94	57.17	-44.26	72.31	322
NMa	18.01	0.0	0.0	0.0	0
WMa	95.41	0.0	0.0	0.0	0
RCIE	39.92	58.66	26.98	64.56	25
JCIE	81.26	-2.17	67.76	67.79	92
GCIE	52.23	-42.26	11.75	43.87	164
BCIE	30.57	1.15	-46.84	46.87	271

%Regularität

$g^*_{H,rel} = 41$

$g^*_{C,rel} = 52$

relative Inform. Technology (IT)

$olv1^3*$

0.0 0.75 0.75

$olv1^2*$

0.0 0.75 0.75

$olv1^1*$

0.0 0.75 0.75

$olv1^0*$

0.0 0.75 0.75

$olv2^3*$

0.0 0.75 0.75

$olv2^2*$

0.0 0.75 0.75

$olv2^1*$

0.0 0.75 0.75

$olv2^0*$

0.0 0.75 0.75

$olv3^3*$

0.0 0.75 0.75

$olv3^2*$

0.0 0.75 0.75

$olv3^1*$

0.0 0.75 0.75

$olv3^0*$

0.0 0.75 0.75

$olv4^3*$

0.0 0.75 0.75

$olv4^2*$

0.0 0.75 0.75

$olv4^1*$

0.0 0.75 0.75

$olv4^0*$

0.0 0.75 0.75

$olv5^3*$

0.0 0.75 0.75

$olv5^2*$

0.0 0.75 0.75

$olv5^1*$

0.0 0.75 0.75

$olv5^0*$

0.0 0.75 0.75

$olv6^3*$

0.0 0.75 0.75

$olv6^2*$

0.0 0.75 0.75

$olv6^1*$

0.0 0.75 0.75

$olv6^0*$

0.0 0.75 0.75

$olv7^3*$

0.0 0.75 0.75

$olv7^2*$

0.0 0.75 0.75

$olv7^1*$

0.0 0.75 0.75

$olv7^0*$

0.0 0.75 0.75

$olv8^3*$

0.0 0.75 0.75

$olv8^2*$

0.0 0.75 0.75

$olv8^1*$

0.0 0.75 0.75

$olv8^0*$

0.0 0.75 0.75

$olv9^3*$

0.0 0.75 0.75

$olv9^2*$

0.0 0.75 0.75

$olv9^1*$

0.0 0.75 0.75

$olv9^0*$

0.0 0.75 0.75

$olv10^3*$

0.0 0.75 0.75

$olv10^2*$

0.0 0.75 0.75

$olv10^1*$

0.0 0.75 0.75

$olv10^0*$

0.0 0.75 0.75

$olv11^3*$

0.0 0.75 0.75

$olv11^2*$

0.0 0.75 0.75

$olv11^1*$

0.0 0.75 0.75

$olv11^0*$

0.0 0.75 0.75

$olv12^3*$

0.0 0.75 0.75

$olv12^2*$

0.0 0.75 0.75

$olv12^1*$

0.0 0.75 0.75

$olv12^0*$

0.0 0.75 0.75

$olv13^3*$

0.0 0.75 0.75

$olv13^2*$

0.0 0.75 0.75

$olv13^1*$

0.0 0.75 0.75

$olv13^0*$

0.0 0.75 0.75

$olv14^3*$

0.0 0.75 0.75

$olv14^2*$

0.0 0.75 0.75

$olv14^1*$

0.0 0.75 0.75

$olv14^0*$

0.0 0.75 0.75

$olv15^3*$

0.0 0.75 0.75

$olv15^2*$

0.0 0.75 0.75

$olv15^1*$

0.0 0.75 0.75

$olv15^0*$

0.0 0.75 0.75

$olv16^3*$

0.0 0.75 0.75

$olv16^2*$

0.0 0.75 0.75

$olv16^1*$

0.0 0.75 0.75

$olv16^0*$

0.0 0.75 0.75

$olv17^3*$

0.0 0.75 0.75

$olv17^2*$

0.0 0.75 0.75

$olv17^1*$

0.0 0.75 0.75

$olv17^0*$

0.0 0.75 0.75

$olv18^3*$

0.0 0.75 0.75

$olv18^2*$

0.0 0.75 0.75

$olv18^1*$

0.0 0.75 0.75

$olv18^0*$

0.0 0.75 0.75

$olv19^3*$

0.0 0.75 0.75

$olv19^2*$

0.0 0.75 0.75

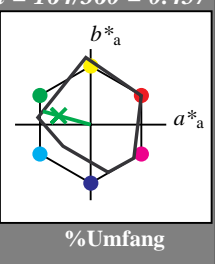
Siehe ähnliche Dateien: <http://www.ps.bam.de/UG44/>
 Technische Information: <http://www.ps.bam.de> Version 2.1, io=0,0?

Eingabe: Farbmétrisches Reflexions-System MRS18

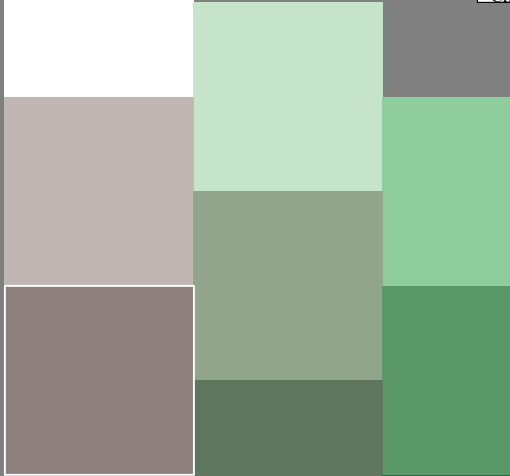
für Bunton $h^* = lab^*h = 164/360 = 0.457$
 lab^*tch und lab^*nch

D65: Bunton G
 LCH*Ma: 56 66 164
 rgb*Ma: 0.1 1.0 0.0

Dreiecks-Helligkeit



%Umfang
 $u^*_{rel} = 91$



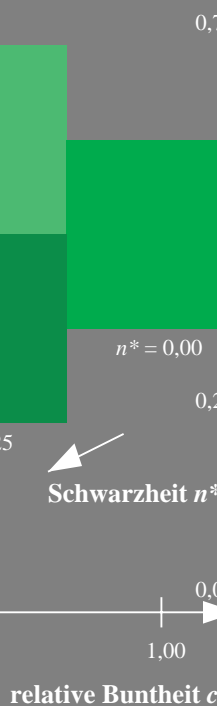
MRS18; adaptierte CIELAB-Daten

	$L^* = L^*_a$	$a^*_{ab,a}$	$b^*_{ab,a}$	$C^*_{ab,a}$	$h^*_{ab,a}$
RMa	49.63	66.96	38.37	77.18	30
JMa	90.7	-6.36	88.75	88.98	94
GMa	52.11	-69.73	9.44	70.37	172
G50BMa	45.03	-36.57	-28.47	46.36	218
BMa	36.65	23.19	-63.05	67.18	290
B50RMa	34.94	57.17	-44.26	72.31	322
NMa	18.01	0.0	0.0	0.0	0
WMa	95.41	0.0	0.0	0.0	0
RCIE	39.92	58.66	26.98	64.56	25
JCIE	81.26	-2.17	67.76	67.79	92
GCIE	52.23	-42.26	11.75	43.87	164
BCIE	30.57	1.15	-46.84	46.87	271

%Regularität

$g^*_{H,rel} = 41$

$g^*_{C,rel} = 52$



Ausgabe: Farbmétrisches Reflexions-System MRS18

für Bunton $h^* = lab^*h = 164/360 = 0.457$

lab^*tch und lab^*nch

D65: Bunton G
 LCH*Ma: 56 66 164
 rgb*Ma: 0.1 1.0 0.0

Dreiecks-Helligkeit



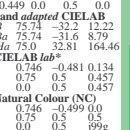
MRS18; adaptierte CIELAB-Daten

	$L^* = L^*_a$	$a^*_{ab,a}$	$b^*_{ab,a}$	$C^*_{ab,a}$	$h^*_{ab,a}$
RMa	49.63	66.96	38.37	77.18	30
JMa	90.7	-6.36	88.75	88.98	94
GMa	52.11	-69.73	9.44	70.37	172
G50BMa	45.03	-36.57	-28.47	46.36	218
BMa	36.65	23.19	-63.05	67.18	290
B50RMa	34.94	57.17	-44.26	72.31	322
NMa	18.01	0.0	0.0	0.0	0
WMa	95.41	0.0	0.0	0.0	0
RCIE	39.92	58.66	26.98	64.56	25
JCIE	81.26	-2.17	67.76	67.79	92
GCIE	52.23	-42.26	11.75	43.87	164
BCIE	30.57	1.15	-46.84	46.87	271

%Regularität

$g^*_{H,rel} = 41$

$g^*_{C,rel} = 52$



relative CIELAB lab*

lab^*l

lab^*tch

lab^*nch

lab^*n

lab^*c

lab^*ncE

lab^*nc

lab^*cE

lab^*g

lab^*gE

Siehe ähnliche Dateien: <http://www.ps.bam.de/UG44/>
 Technische Information: <http://www.ps.bam.de> Version 2.1, io=0,0?

Eingabe: Farbmétrisches Reflexions-System MRS18

für Bunton $h^* = lab^*h = 271/360 = 0.754$

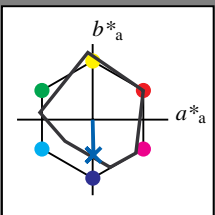
lab^{*tch} und lab^{*nch}

D65: Bunton B

LCH*Ma: 40 50 271

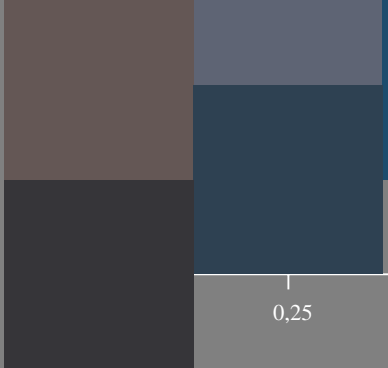
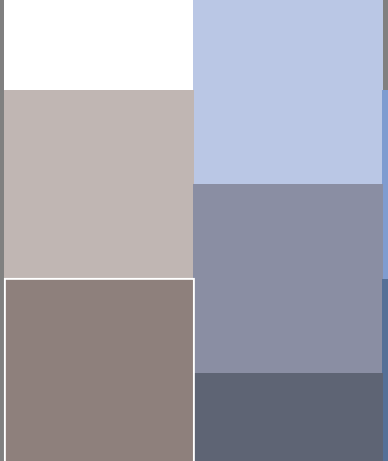
rgb*Ma: 0.0 0.37 1.0

Dreiecks-Helligkeit



%Umfang

$u^*_{rel} = 91$



MRS18; adaptierte CIELAB-Daten

	$L^* = L^*_a$	$a^* a$	$b^* a$	$C^*_{ab,a}$	$h^*_{ab,a}$
RMa	49.63	66.96	38.37	77.18	30
JMa	90.7	-6.36	88.75	88.98	94
GMa	52.11	-69.73	9.44	70.37	172
G50BMa	45.03	-36.57	-28.47	46.36	218
BMa	36.65	23.19	-63.05	67.18	290
B50RMa	34.94	57.17	-44.26	72.31	322
NMa	18.01	0.0	0.0	0.0	0
WMa	95.41	0.0	0.0	0.0	0
RCIE	39.92	58.66	26.98	64.56	25
JCIE	81.26	-2.17	67.76	67.79	92
GCIE	52.23	-42.26	11.75	43.87	164
BCIE	30.57	1.15	-46.84	46.87	271

%Regularität

$g^*_{H,rel} = 41$

$g^*_{C,rel} = 52$

$n^* = 0,00$

$n^* = 0,25$

$n^* = 0,50$

$n^* = 0,75$

$n^* = 1,00$

$n^* = 0,00$

$n^* = 0,25$

$n^* = 0,50$

$n^* = 0,75$

$n^* = 1,00$

$n^* = 0,00$

$n^* = 0,25$

$n^* = 0,50$

$n^* = 0,75$

$n^* = 1,00$

$n^* = 0,00$

$n^* = 0,25$

$n^* = 0,50$

$n^* = 0,75$

$n^* = 1,00$

$n^* = 0,00$

$n^* = 0,25$

$n^* = 0,50$

$n^* = 0,75$

$n^* = 1,00$

$n^* = 0,00$

$n^* = 0,25$

$n^* = 0,50$

$n^* = 0,75$

$n^* = 1,00$

$n^* = 0,00$

$n^* = 0,25$

$n^* = 0,50$

$n^* = 0,75$

$n^* = 1,00$

$n^* = 0,00$

$n^* = 0,25$

$n^* = 0,50$

$n^* = 0,75$

$n^* = 1,00$

$n^* = 0,00$

$n^* = 0,25$

$n^* = 0,50$

$n^* = 0,75$

$n^* = 1,00$

$n^* = 0,00$

$n^* = 0,25$

$n^* = 0,50$

$n^* = 0,75$

$n^* = 1,00$

$n^* = 0,00$

$n^* = 0,25$

$n^* = 0,50$

$n^* = 0,75$

$n^* = 1,00$

$n^* = 0,00$

$n^* = 0,25$

$n^* = 0,50$

$n^* = 0,75$

$n^* = 1,00$

$n^* = 0,00$

$n^* = 0,25$

$n^* = 0,50$

$n^* = 0,75$

$n^* = 1,00$

$n^* = 0,00$

$n^* = 0,25$

$n^* = 0,50$

$n^* = 0,75$

$n^* = 1,00$

$n^* = 0,00$

$n^* = 0,25$

$n^* = 0,50$

$n^* = 0,75$

$n^* = 1,00$

$n^* = 0,00$

$n^* = 0,25$

$n^* = 0,50$

$n^* = 0,75$

$n^* = 1,00$

$n^* = 0,00$

$n^* = 0,25$

$n^* = 0,50$

$n^* = 0,75$

$n^* = 1,00$

$n^* = 0,00$

$n^* = 0,25$

$n^* = 0,50$

$n^* = 0,75$

$n^* = 1,00$

$n^* = 0,00$

$n^* = 0,25$

$n^* = 0,50$

$n^* = 0,75$

$n^* = 1,00$

$n^* = 0,00$

$n^* = 0,25$

$n^* = 0,50$

$n^* = 0,75$

$n^* = 1,00$

$n^* = 0,00$

$n^* = 0,25$

$n^* = 0,50$

$n^* = 0,75$

$n^* = 1,00$

$n^* = 0,00$

$n^* = 0,25$

$n^* = 0,50$

$n^* = 0,75$

$n^* = 1,00$

$n^* = 0,00$

$n^* = 0,25$

$n^* = 0,50$

$n^* = 0,75$

$n^* = 1,00$

$n^* = 0,00$

$n^* = 0,25$

$n^* = 0,50$

$n^* = 0,75$

$n^* = 1,00$

$n^* = 0,00$

$n^* = 0,25$

$n^* = 0,50$

$n^* = 0,75$

$n^* = 1,00$

$n^* = 0,00$

$n^* = 0,25$

$n^* = 0,50$

$n^* = 0,75$

$n^* = 1,00$

$n^* = 0,00$

$n^* = 0,25$

$n^* = 0,50$

$n^* = 0,75$

$n^* = 1,00$

$n^* = 0,00$

$n^* = 0,25$

$n^* = 0,50$

$n^* = 0,75$

$n^* = 1,00$

$n^* = 0,00$

$n^* = 0,25$

$n^* = 0,50$

$n^* = 0,75$

$n^* = 1,00$

$n^* = 0,00$

$n^* = 0,25$

$n^* = 0,50$

$n^* = 0,75$

$n^* = 1,00$

$n^* = 0,00$

$n^* = 0,25$

$n^* = 0,50$

$n^* = 0,75$

$n^* = 1,00$

$n^* = 0,00$

$n^* = 0,25$

$n^* = 0,50$

$n^* = 0,75$

$n^* = 1,00$

$n^* = 0,00$

$n^* = 0,25$

$n^* = 0,50$

$n^* = 0,75$

$n^* = 1,00$

$n^* = 0,00$

$n^* = 0,25$

$n^* = 0,50$

$n^* = 0,75$

$n^* = 1,00$

$n^* = 0,00$

$n^* = 0,25$

$n^* = 0,50$

$n^* = 0,75$

$n^* = 1,00$

$n^* = 0,00$

$n^* = 0,25$

$n^* = 0,50$

$n^* = 0,75$

$n^* = 1,00$

$n^* = 0,00$

$n^* = 0,25$

$n^* = 0,50$

$n^* = 0,75$

$n^* = 1,00$

$n^* = 0,00$

$n^* = 0,25$

$n^* = 0,50$

$n^* = 0,75$

$n^* = 1,00$

<